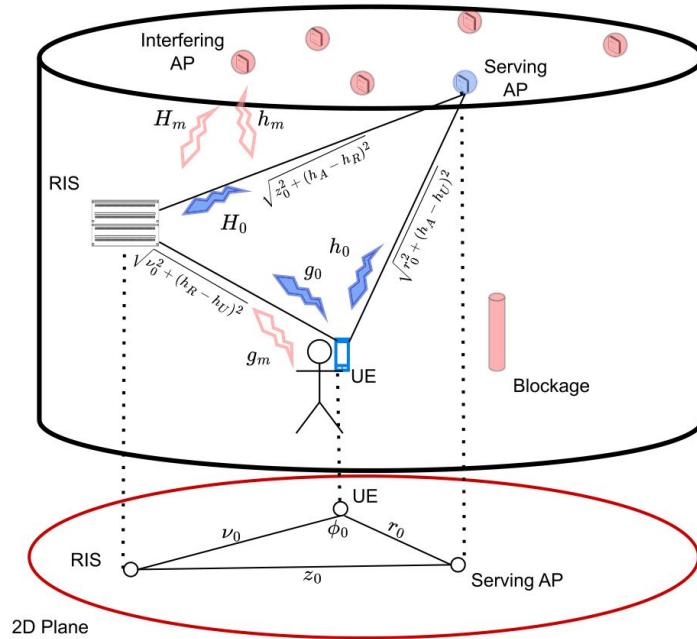


# Estudo sobre o artigo “On the Downlink Coverage Performance of RIS-Assisted THz Networks”

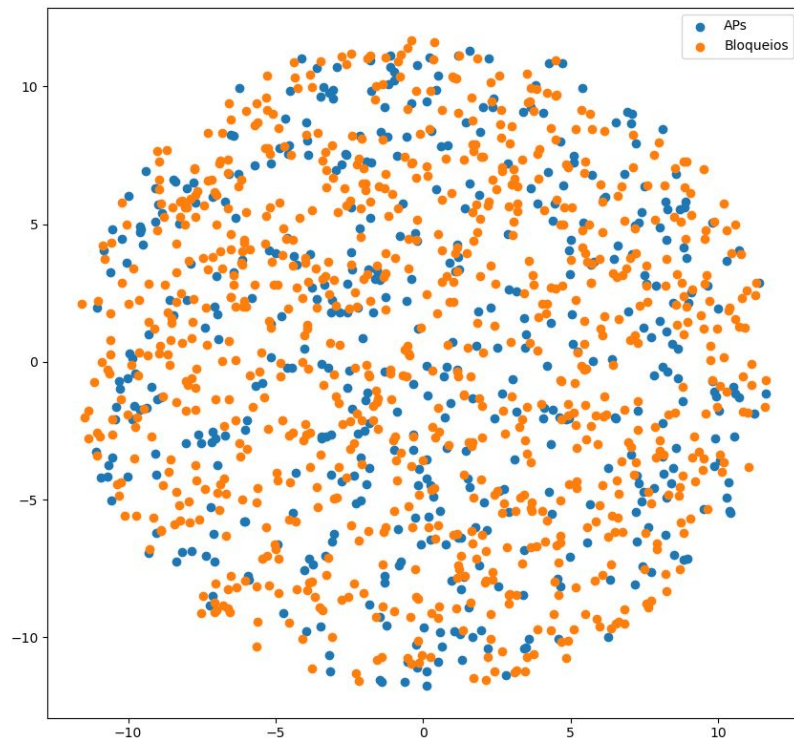
Paulo Tealdi

# Modelo do sistema



- Região de análise em formato cilíndrico
- APs e bloqueios modelados por PPP homogêneo (Poisson point process)
- UE sempre fixo em  $[0,0,h_U]$
- Bloqueios com altura 1,63m e raio 0,22m
- RIS acima dos bloqueios
- Apenas 1 AP de serviço

# Realização do PPP



Com os dados do artigo:

- $\lambda_A = 1$  (1 AP/m<sup>2</sup>)
- $\lambda_B = 2$  (2 Bloqueios/m<sup>2</sup>)

# Análise de cobertura (Probabilidades de associação)

$$A_D(r_0) = \exp(-\beta_D r_0) (1 - \exp(-\beta_R v_0)).$$

$$A_R(r_0) = (1 - \exp(-\beta_D r_0)) \exp(-\beta_R v_0).$$

$$A_C(r_0) = \exp(-\beta_D r_0) \exp(-\beta_R v_0).$$

$$\beta_D = 2\lambda_B r_B \left| \frac{\hat{h}_B}{\hat{h}_A} \right| \quad \beta_R = 2\lambda_B r_B \left| \frac{\hat{h}_B}{\hat{h}_R} \right|$$

# Cálculo da potência de interferência

Modelo de pathloss:

$$PL_D(r) = \frac{G_U G_A c^2}{(4\pi f)^2} e^{-k_a(f) \sqrt{r^2 + \hat{h}_A^2}} (r^2 + \hat{h}_A^2)^{-1}$$

Sinal recebido:

$$y_D = \sqrt{P_A PL_D(r_0)} \mathbf{h}_0^T \mathbf{f}_0 x$$

Sendo que:

$$\mathbf{h}_0 = [h_1, \dots, h_{N_A}]^T \quad h_j \sim \mathcal{CN}(0, 1)$$

é o vetor de canal

Segue que a potência do sinal recebido é dada por:

$$\mathcal{S}_D = P_A \text{PL}_D(r_0) |\mathbf{h}_0^T \mathbf{f}_0 x|^2$$

Para saber a potência total de interferência, soma-se todas as potências dos sinais recebidos por APs que não são a AP de serviço (mais próxima):

$$I_D = P_A \frac{G_U G_A c^2}{(4\pi f)^2} \sum_{\mathbf{a}_m \in \Pi_D / \mathbf{a}_0} \frac{e^{-k_a(f) \sqrt{r_m^2 + \hat{h}_A^2}}}{(r_m^2 + \hat{h}_A^2)} |\mathbf{h}_m^T \mathbf{f}_m x|^2$$

O mesmo processo é feito para o link com a RIS.

De forma geral:

$$I_D = \sum_{a_m \in \Pi_D/a_0} P_A P L_D(r_m) |h_m^T f_m x|^2 = \sum_{a_m \in \Pi_D/a_0} P_A P L_D(r_m) \gamma_m$$

Portanto:

$$\begin{aligned} \mathcal{L}_{I_D}(s) &= \mathbb{E}_{I_D}[e^{-sI_D}] = \mathbb{E}_{\Pi_D, \gamma_m} \left[ \exp\left(-s \sum_{a_m \in \Pi_D/a_0} P_A P L_D(r_m) \gamma_m\right) \right] \\ &= \mathbb{E}_{\Pi_D, \gamma_m} \left[ \prod_{a_m \in \Pi_D/a_0} \exp(-s P_A P L_D(r_m) \gamma_m) \right] = \mathbb{E}_{\Pi_D} \left[ \prod_{a_m \in \Pi_D/a_0} \mathbb{E}_{\gamma_m}[\exp(-s P_A P L_D(r_m) \gamma_m)] \right] \\ &= \mathbb{E}_{\Pi_D} \left[ \prod_{a_m \in \Pi_D/a_0} \frac{\kappa_D}{\kappa_D + s P_A P L_D(r_m)} \right] \end{aligned}$$

# Transformada de Laplace da interferência

A transformada de Laplace da potência total de interferência no link direto é dada por:

$$\mathcal{L}_{I_D}(s) = \exp \left[ -2\pi \lambda_A \int_{r_0}^{R_t} \left( 1 - \frac{\kappa_D}{\kappa_D + s P_A \text{PL}_D(r)} \right) P_D^{\text{LoS}}(r) r \mathrm{d}r \right]$$

Em que:

$$\kappa_D = \frac{1}{2(\sum_{j=1}^{N_A} |f_j|^2)^2}$$



Para o link com a RIS a transformada de Laplace é dada por:

$$\mathcal{L}_{I_R}(s) = \exp \left[ - 2\pi \lambda_A \int_0^\pi \int_{r_0}^{R_t} (1 - Q(s P_A \text{PL}_R(\sqrt{r^2 + v_0^2 - 2rv_0 \cos \phi}))) r dr d\phi \right]$$

Em que:

$$Q(x) = \frac{1}{\sqrt{1+2x}} \exp \left( -\frac{\kappa_I x}{1+2x} \right), \quad \kappa_I = \frac{\mu_B}{2 \left( \sum_{j=1}^{N_A} |f_j^m| \right) \sigma_B^2}$$

No caso direto tem-se a MGF da distribuição exponencial e, no caso do link com a RIS, tem-se a MGF da distribuição  $\chi^2$

As probabilidades condicionais de cobertura são dadas por:

$$P_D(r_0) = \mathcal{L}_{I_D} \left( \frac{\tau \kappa_D}{P_A \text{PL}_D(r_0)} \right)$$

$$P_R(r_0, \phi_0) = \mathcal{L}_{I_D} (\tau \kappa_R(z_0)) \mathcal{L}_{I_R} (\tau \kappa_R(z_0))$$

$$P_C(r_0, \phi_0) = \mathcal{L}_{I_D} (\tau \kappa_C(r_0, z_0)) \mathcal{L}_{I_R} (\tau \kappa_C(r_0, z_0))$$

E os termos utilizados nas funções são encontrados com um limiar de SIR:

$$\begin{aligned} P_D(r_0) &= \mathbb{P} \left[ \frac{S_D}{I_D} > \tau \right] = \mathbb{P} \left[ |\mathbf{h}_0^T \mathbf{f}_0|^2 > \frac{\tau I_D}{P_A \text{PL}_D(r_0)} \right] \\ &\stackrel{(a)}{=} \mathbb{E}_{I_D} \left[ \exp \left( -\kappa_D \tau \frac{I_D}{P_A \text{PL}_D(r_0)} \right) \right] \stackrel{(b)}{=} \mathcal{L}_{I_D} \left( \frac{\tau \kappa_D}{P_A \text{PL}_D(r_0)} \right) \end{aligned}$$

(a): CCDF da exponencial | (b): Definição da transformada de Laplace

# Probabilidade de cobertura

$$P_{\text{Cov}} = \int_0^\pi \frac{1}{\pi} \int_0^{R_t} f_{r_0}(r_0) (A_D(r_0)P_D(r_0) + A_R(r_0)P_R(r_0, \phi_0) + A_C(r_0)P_C(r_0, \phi_0)) \, dr_0 \, d\phi_0$$

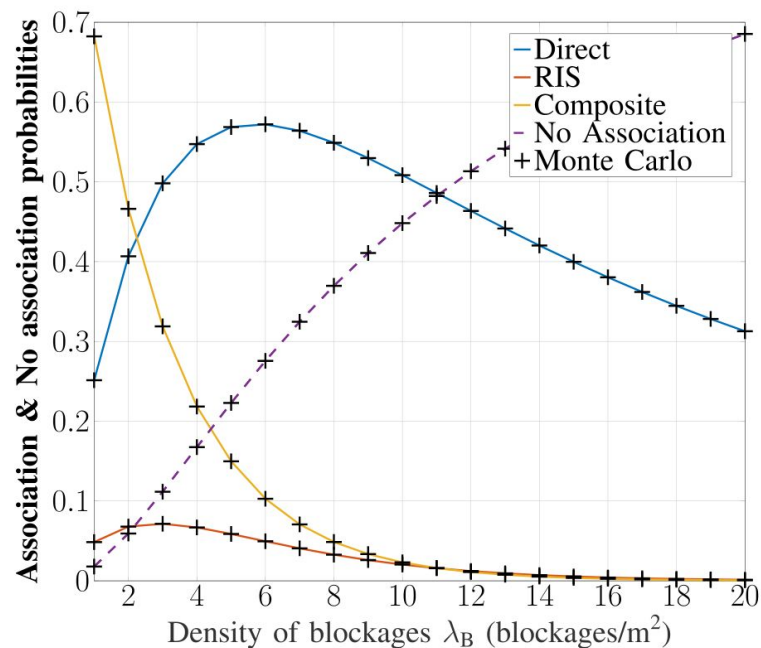
Em que:

$$f_{r_0}(r_0) = 2\pi\lambda_A r_0 \exp(-\lambda_A \pi r_0^2)$$

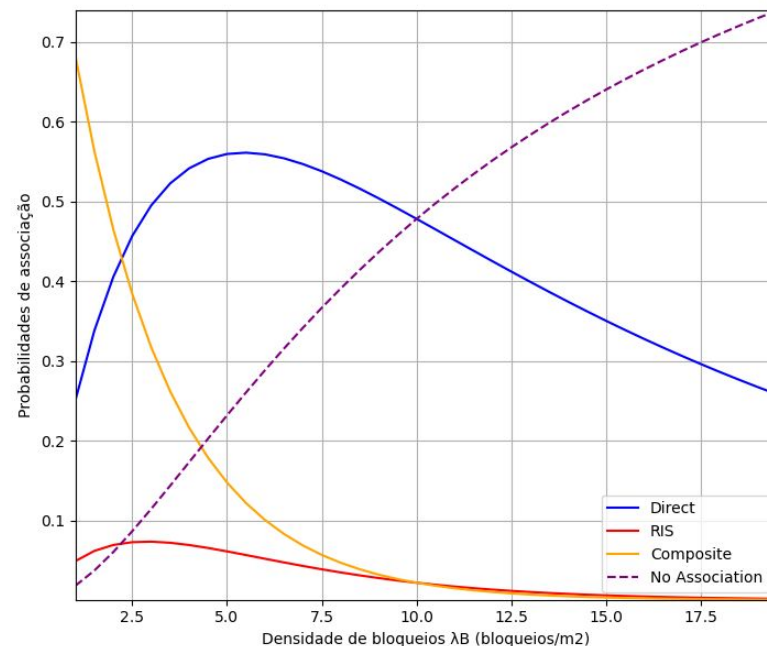
Representa a PDF da distância 2D entre UE e AP mais próxima.

## Figura 2.(a)

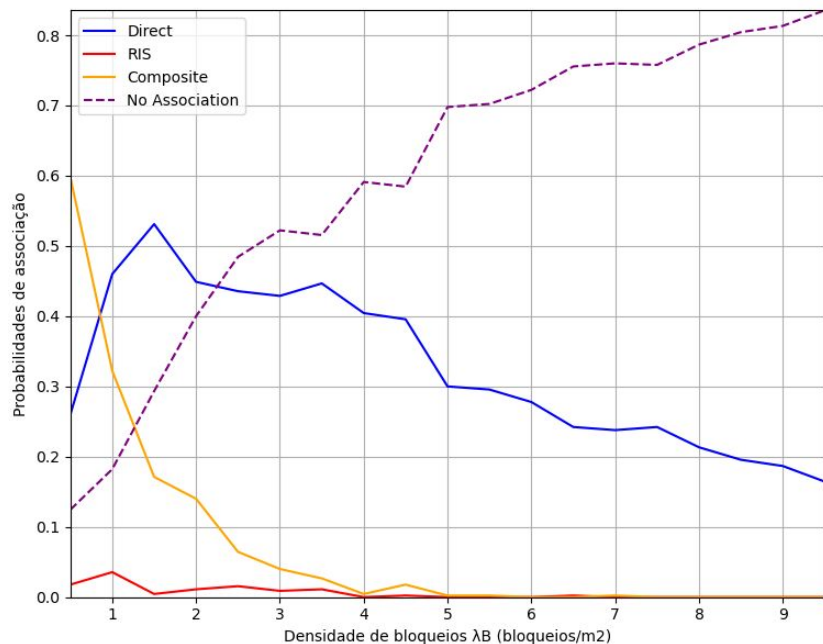
Resultado do artigo:



Minha simulação:



# Minha simulação Monte-Carlo da figura 2.(a)

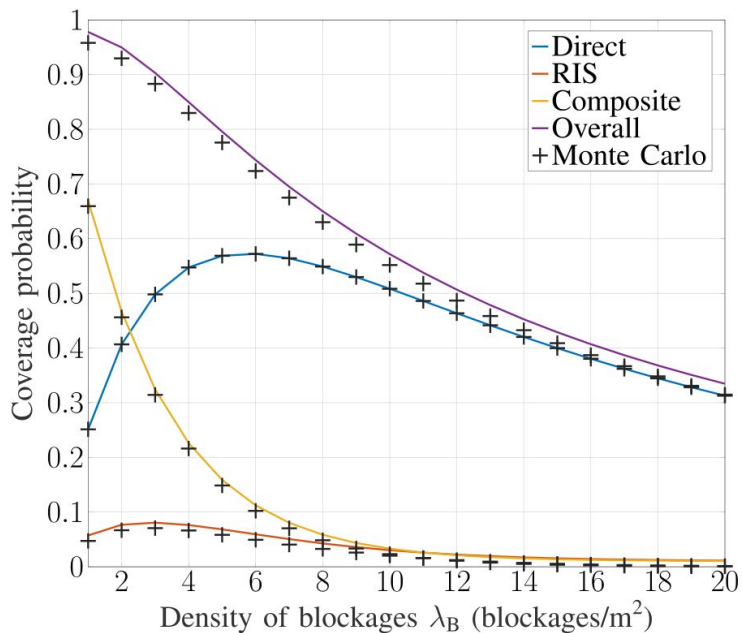


Número de realizações Monte-Carlo = 450

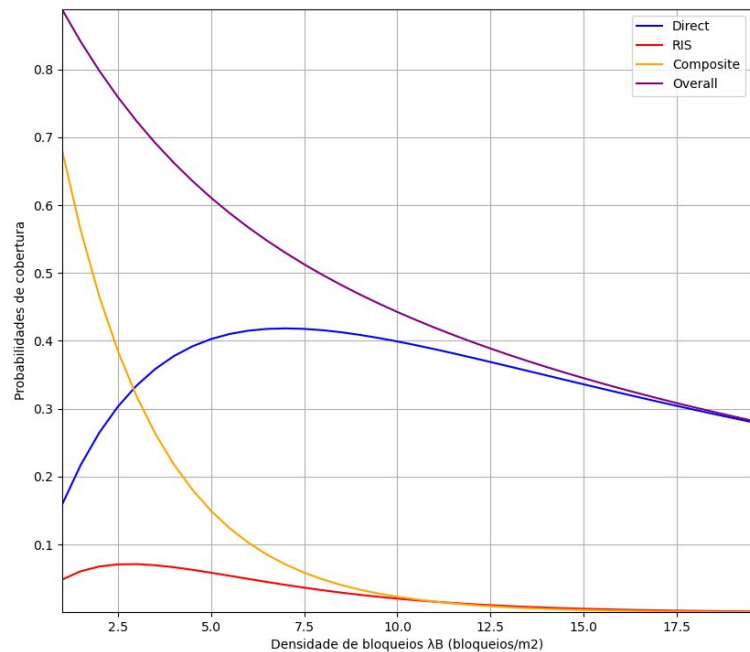
No artigo foram utilizadas  $10^6$

## Figura 2.(b)

Resultado do artigo:

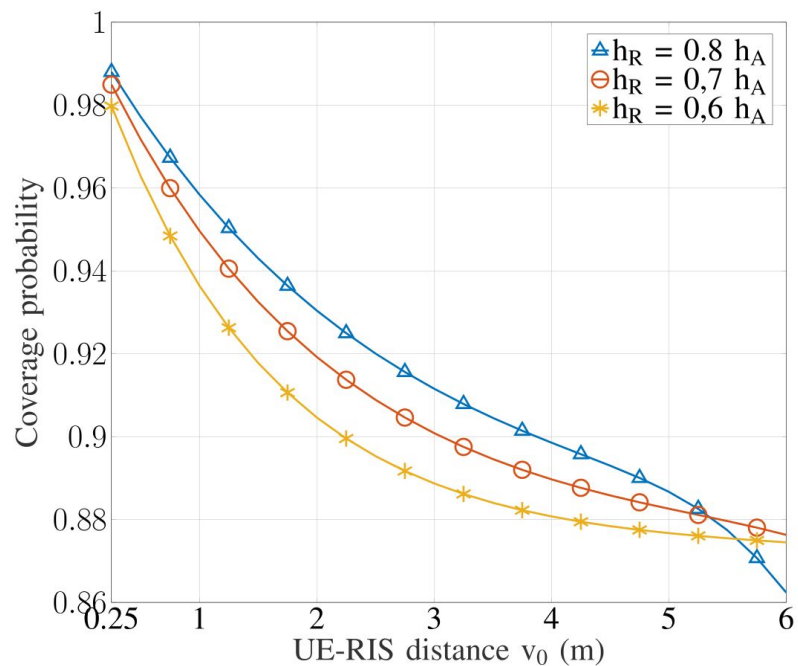


Minha simulação:

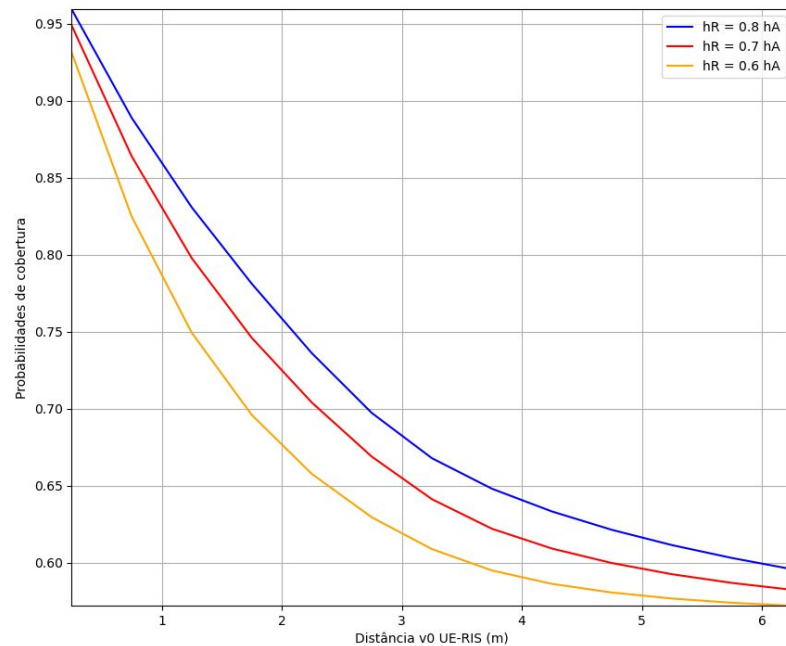


# Figura 3.(a)

Resultado do artigo:

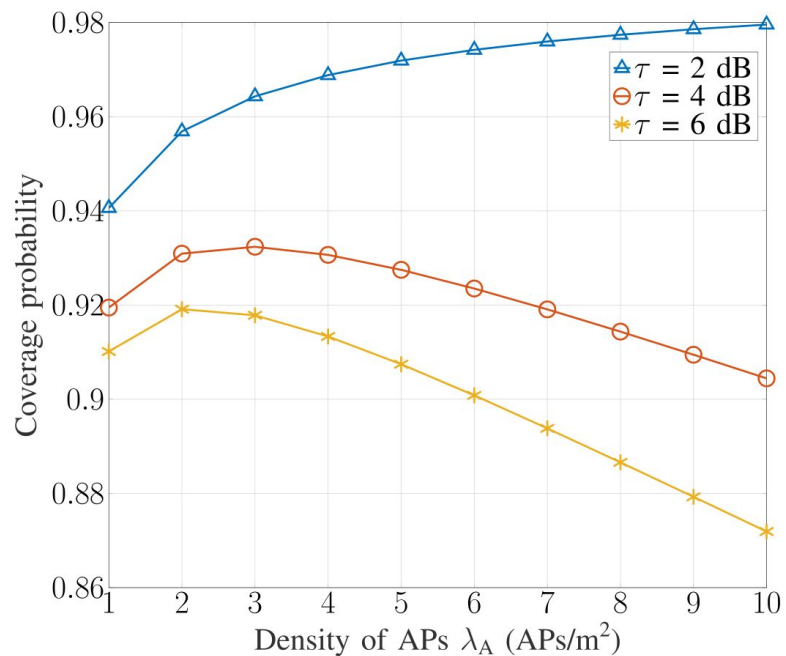


Minha simulação:

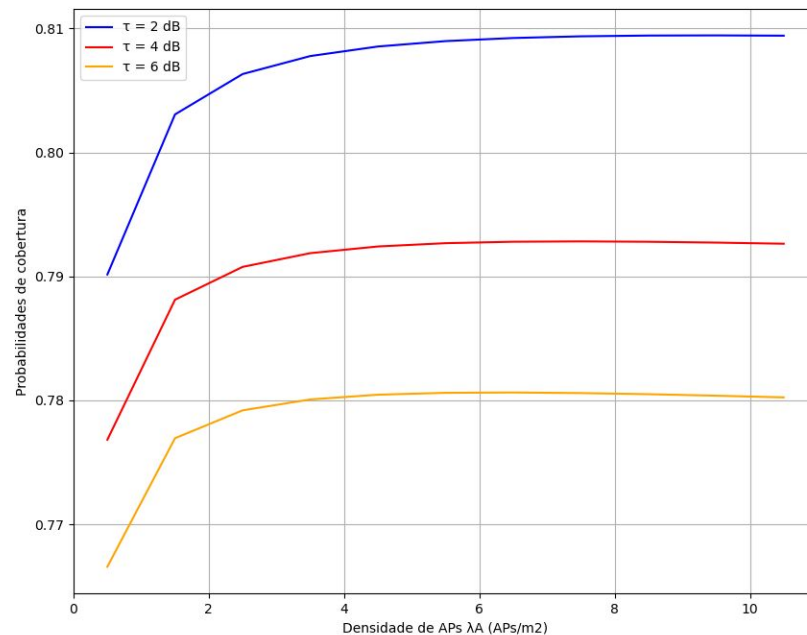


## Figura 3.(b)

Resultado do artigo:



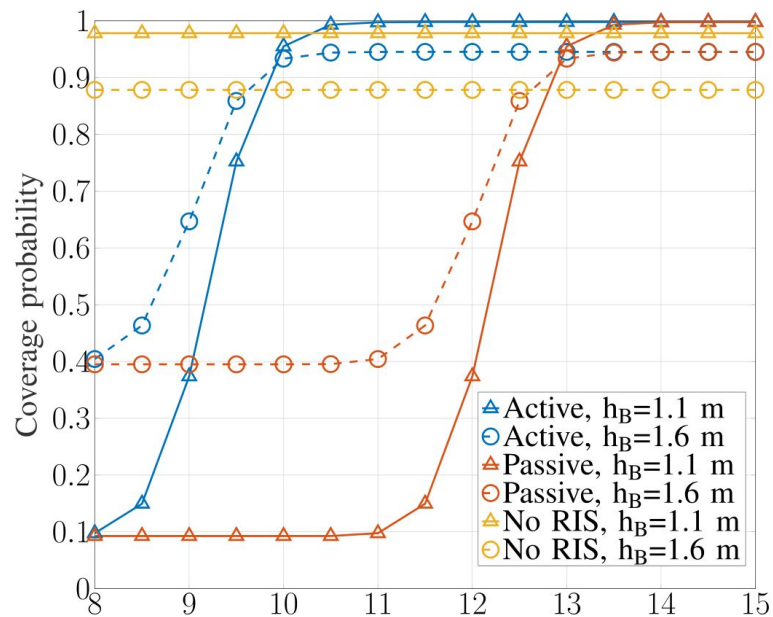
Minha simulação:



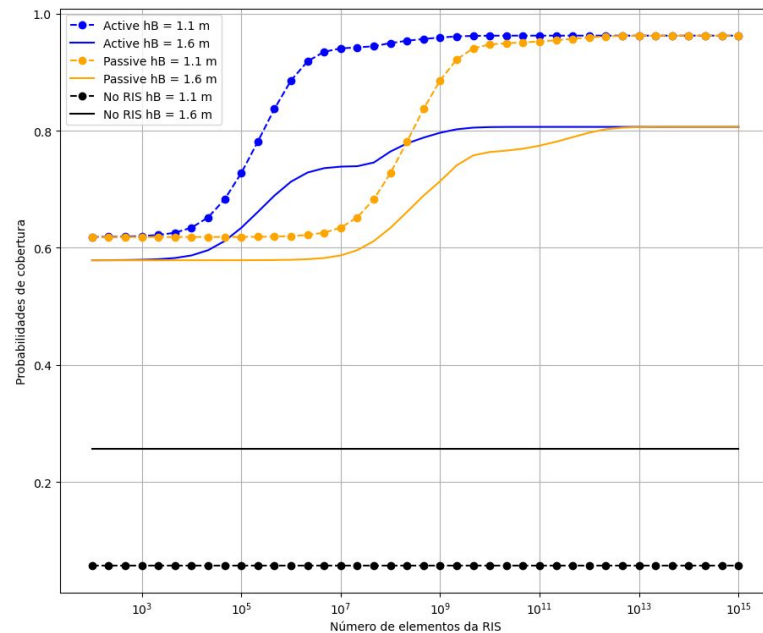


## Figura 3.(c)

Resultado do artigo:



Minha simulação:



# Referências

- [1] W. Aman, N. Kouzayha, M. M. U. Rahman and T. Y. Al-Naffouri, "On the Downlink Coverage Performance of RIS-Assisted THz Networks," in IEEE Communications Letters, vol. 28, no. 1, pp. 228-232, Jan. 2024, doi: 10.1109/LCOMM.2023.3332173.
- [2] SINTUHAKARAN, Sudarshan; ANDREWS, Jeffrey G. A primer on cellular network analysis using stochastic geometry. arXiv preprint arXiv:1604.03183, 2016. Disponível em: <https://arxiv.org/abs/1604.03183>. Acesso em: 15/09/2024.